

Biblio: Quaranta ; Jackson (pour discussion partie III)

Ndl: J'ai profité de l'arrivée tardive de ce document pour ajouter quelque commentaires de fond des correcteurs (C) et pour corriger la partie III où j'utilisais abusivement le terme "rayonnement dipolaire"

Intro

les phénomènes d'induction sont très utilisés en ingénierie, notamment pour les conversion de puissance mécanique - électrique ou électrique - électrique (transformation).

Nous allons nous attacher à étudier ici quelques propriétés fondamentales de ce phénomène physique.

Expériences introductives :

- * Déplacement d'un fil dans un champ magnétique constant.
- * Déplacement d'un aimant au voisinage d'un fil.

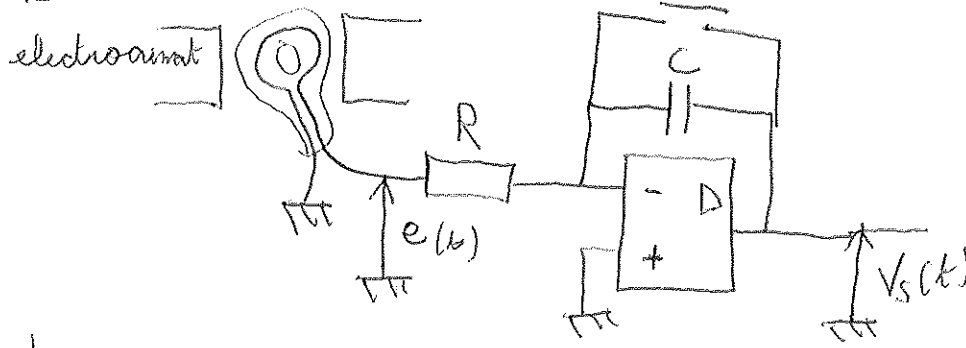
Observation de l'apparition de courants à l'aide d'un galvanomètre.

I/ Induction, loi de Faraday ; Fluxmètre

(2)

Nous allons ici concevoir un Fluxmètre non étaloné. Par application de la loi de Faraday nous évaluons une mesure d'un champ \vec{B} , que nous comparons avec des valeur donné par un Teslamètre étaloné.

Fluxmètre :



○ : On utilise R de valeur la plus grande possible de façon à limiter la valeur du courant, la tension résistante intégrée tenant compte de la résistance r de la spire:
 $e = f \cdot e \cdot m - r \cdot i$

$$e = -\frac{d}{dt} \Phi_B$$

$$V_s = \frac{1}{RC} \int e dt = \frac{1}{RC} \Delta B \times S$$

On retire le fluxmètre de l'entrefer de l'électroaimant, et on suppose que B fin expérience est nul, ainsi nous évaluons B dans l'entrefer par :

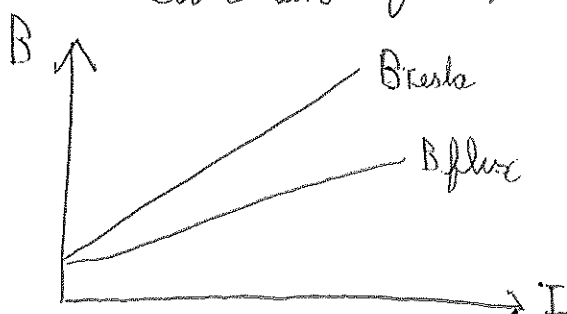
$$B = \frac{RC V_s}{S}$$

Nous avons alors tracer :

$$\text{et } B_{\text{Teslamètre}} = f(I)$$

$$B_{\text{Fluxmètre}} = f(I)$$

où I est le courant qui traverse l'électroaimant



③

On modélise les courbes par des droites et évaluons l'efficacité directrice :

$$\alpha_{\text{Tesla}} = \pm mT \cdot A^{-1}$$

$$\alpha_{\text{Flux}} = \pm mT \cdot A^{-1}$$

avec $\frac{\Delta a}{a} = \sqrt{\left(\frac{\Delta B}{B}\right)^2 + \left(\frac{\Delta I}{I}\right)^2}$

$$\frac{\Delta B_{\text{flux}}}{B_{\text{flux}}} = \sqrt{\left(\frac{\Delta R}{R}\right)^2 + \left(\frac{\Delta C}{C}\right)^2 + \left(\frac{\Delta V_s}{V_s}\right)^2 + \left(\frac{\Delta S}{S}\right)^2} \approx \frac{\Delta V_s}{V_s}$$

On évalue l'écart à la valeur Teslamètre.

$$\frac{\alpha_{\text{Tesla}} - \alpha_{\text{flux}}}{\alpha_{\text{Tesla}}} =$$

Notons que si la loi de Faraday semble conduire à une évaluation cohérente de B , il semble exister un biais qui rend la valeur toujours inférieure à B_{Tesla} .

Ceci peut être du au fait que le fluxmètre mesure un flux et donc moyenne sur une surface supérieure à celle du Teslamètre. Nous avons de fait utilisé la loi de Faraday en supposant l'homogénéité du champ sur la surface de la spire.

④: L'inhomogénéité du champ ne justifie pas un tel écart ($\approx 20\%$)

En revanche le Teslamètre n'offre en rien une évaluation absolue de B , ce qui pourrait expliquer l'écart obtenu.

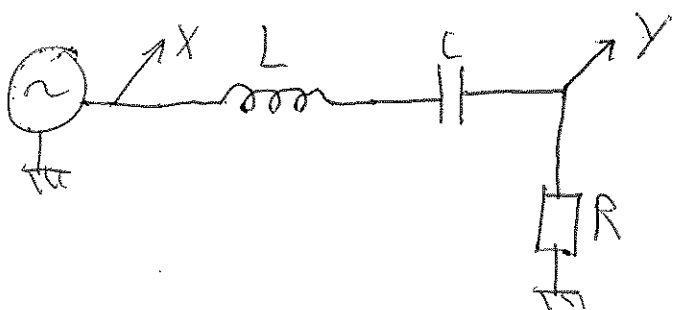
④

II | Auto-induction:

On a vu que la variation du courant qui traverse un conducteur génère un champ B magnétique associé à un champ E lui-même capable d'induire un courant dans un conducteur voisin.

Si l'on couble alors un conducteur on va faire interagir par ce mécanisme les différentes parties qui le composent. Cette interaction, qui génère un courant opposé, va instantanément se délocaliser (ARQS \rightarrow propagation des interactions perçues comme instantanées du point de vue de la vitesse de variation du courant excitateur). C'est donc tout le circuit qui agit, s'opposant dans l'instantanéité à la variation du courant en un de ses points.

Nous nous intéressons à la grandeur L (inductance propre) qui caractérise l'aptitude du circuit à tempérer le changement d'état électrique qui lui est imposé.



$R = 100 \Omega$
Pour négliger l'influence
de l'oscillo.

$$n = L \frac{dI}{dt}$$

Résonnance en courant: signaux
en phase \Rightarrow droite en mode XY

$$f = \frac{1}{2\pi\sqrt{LC}} \Rightarrow L = \frac{1}{4\pi^2 f^2 C}$$

$$f = \pm$$

$$L = \pm mH$$

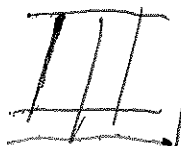
$$\frac{\Delta L}{L} \approx \sqrt{2} \frac{\Delta f}{f}$$

(5)

$$\text{Valeur L-mètre : } L = \pm mH$$

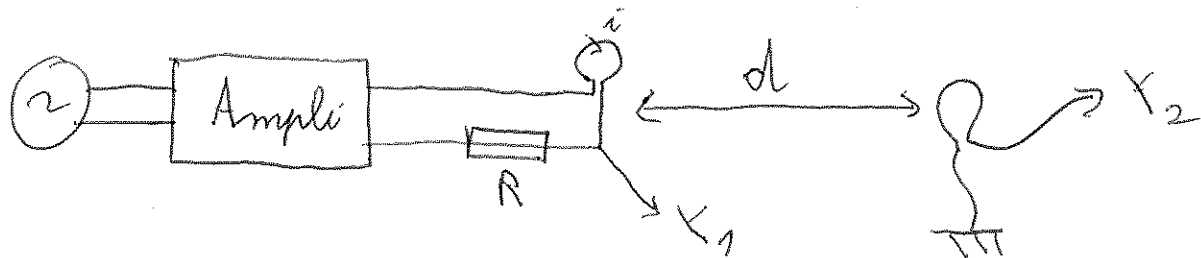
© Attention aux appareils de mesure numérique, il ne la mettez pas en mode construction et ne pas ignorer le dernier décile pour incertitude.

$$\sigma_f = Hg$$

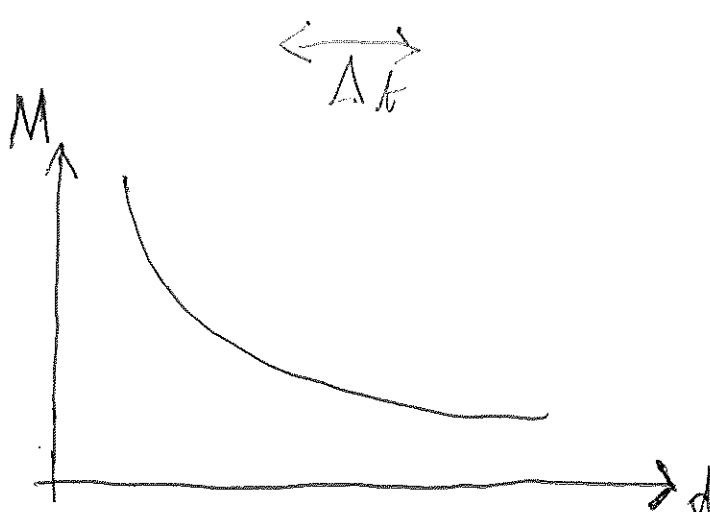
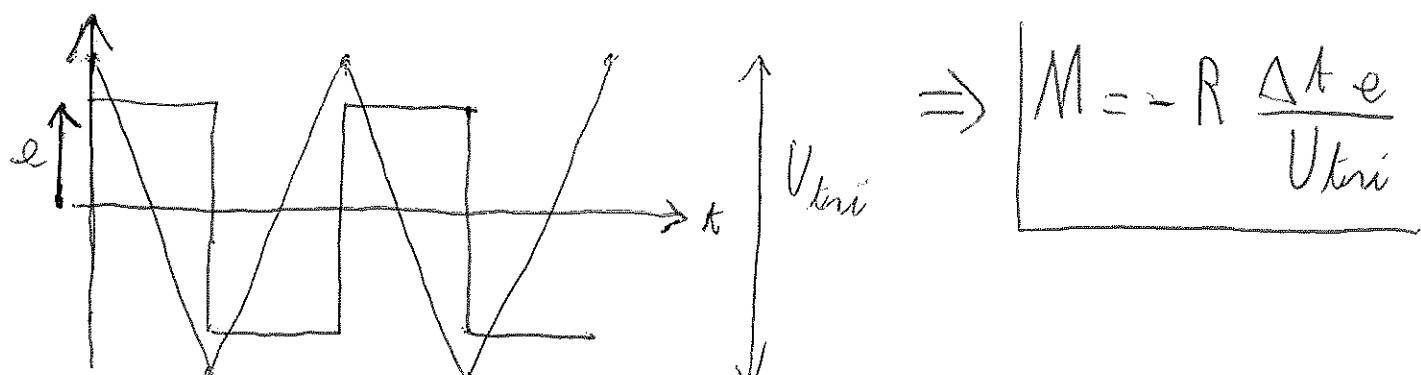


Dépendance avec la distance de l'inductance

Mutuelle :



$$e = -M \frac{di}{dt} = -\frac{M}{R} \frac{U_{tri}}{\Delta t}$$



$$e = \pm$$

$$M = (\pm) \cdot 10^{-6} H$$

C'est mon nom !

Rémi: Nous avions voulu vérifier la décroissance en $\frac{1}{d^3}$ à longue distance (de M).

Mais les conditions expérimentales ne nous ont pas permis de nous placer dans le cadre des hypothèses où la formule suivante est vérifiée :

$$B_r = \frac{\mu_0}{2\pi} (NI \pi a^2 \frac{\cos \theta}{d^3}) \quad [\text{Jackson p 194}]$$

Hypothèse d'application à l'émetteur M :

La bobine assimilable à des boucles de courant \Rightarrow grande distance d devant épaisseur de l'émettrice

\hookrightarrow bobine réceptrice lointaine de la bobine émettrice \Rightarrow grande distance d devant le diamètre de l'émettrice a et épaisseur réceptrice

\hookrightarrow Petits angles $\theta \Rightarrow$ d grand devant diamètre et épaisseur réceptrice.

\hookrightarrow Validité de l'ARQS (B_r étant ici donné par la magnétostatique) \Rightarrow $a \ll d \ll \lambda$

[Jackson p 428]
 \hookrightarrow "zone proche"
 \Rightarrow formule statique applicable avec $I \rightarrow I(t)$

diamètre émettrice

nb : cette hypothèse est en fait peu restrictive en effet la fréquence du signal étant $f = 65 \text{ Hz}$.

* Ce n'est donc pas du rayonnement dipolaire proprement parlant. Les boucles de courant agissent à longue distance comme des dipôles magnétiques d'où ma méprise.

QCM: Rapelons nous de l'importance des phénomènes d'induction, la quasi totalité de l'énergie électrique que nous utilisons a nécessité une conversion mécanique - électrique